

## 周期的擾流場におけるSSの挙動に関するシミュレーション(II)

岩手大学工学部 正員 海田輝三 太村達夫 大沼正郎

1.はじめに 本研究は昨年度に引き続いた周期的に底面剪断応力を変化させた室内実験でのSSと底泥の挙動について、一定剪断応力下での巻き上げあるいは沈降単純の実験とこれらとのシミュレーションの結果を用いて検討したものである。本報告では「分散した状態での沈降を表す項」を改め、さらに、SS及び底泥中の粒度の変化を考慮してシミュレーションを行った。

2.シミュレーションの手法 試料として一般的に水域で見うけらるるようなシルトを生成させし、粘土成分を若干含むものと考える。移流の影響がなく、即ち、SS及び底泥量がある時刻において場所的に変化せず、さらに底面剪断応力も各周期の同一の位相の時に同じ値となる場合には、これまでの実験結果から図-1に示したように1周期内でのSSの挙動は3つの領域に分けられ、①巻き上げ、②分散した状態の大きさを粒子からの沈降

③凝集沈降により主に支配されてしまう領域<sup>(1)</sup>である。以下では1周期を3つに分け、てで $\approx 0.025 \text{ N/m}^2$ 以下では①、てで底泥最表面の $\tau_c$ (巻き上げの限界剪断応力)より大きいと②、その他は③が生じるとした。次に各領域の現象を含む基礎式を示す。

①巻き上げ領域<sup>(2)</sup> 横の一定剪断応力の下での巻き上げ実験での初期の巻き上げ速度のデータから、巻き上げのフラックス $F_c$ を  $F_c = 0.009/(7(\tau_c - \tau))^{1/2}$  [kg/m<sup>2</sup>s] --- (1) とした。但し、 $\tau_c$ は底泥最表面の固体含率 $(1-\varepsilon)$ の関数として、 $\tau_c = 6.5(1-\varepsilon)^{1/2}$  [N/m<sup>2</sup>] --- (2) である。

②分散した状態での沈降領域<sup>(3)</sup> 主流部はSSの鉛直方向の分布がないという実験結果、粘性底層内での粒径の2乗に比例する揚力が働くことによる定常等から、各粒径毎の物質保存式は

$$\frac{\partial C(D,t)}{\partial t} + \frac{\beta}{18\mu H} (\rho_p - \rho_f) g (D^2 / D_p) \overline{C(D,t)} = 0 \quad \text{--- (3)}$$

となる。 $\beta = z^2$ ,  $\overline{C(D,t)} = \frac{1}{H} \int_0^H C(D,t) dz$ ,  $\mu$ : 粘性係数,  
H: 水深, D: 粒径,  $\rho_p, \rho_f$ : 粒子及水の密度。

D: あるでの下での沈降し得る最大の粒径であり、実験結果のシミュレーションの結果から、

$$D[m] = 1.34 \times 10^{-4} \tau [N/m^2] \quad \text{--- (4)} \quad \text{である。} (3) 式を積分して D_c の意味を考慮すると、}$$

$$\overline{C(D,t)} = C(D,0) \exp \left[ -\frac{\beta}{18\mu H} (\rho_p - \rho_f) g \int_{t_0}^t (D^2 - D_c D) dt \right] \quad \text{for } D \geq D_c \quad \text{--- (5)}$$

$$C(D,t) = \text{const.} \quad \text{for } D < D_c \quad \text{となる。} z = z(t_c) は粒径 D の}$$

粒子における底面に作用する $D_c$ による時刻であり、 $t_c$ は $t_0$ からの経過時間である。全体としての濃度 $C$ は初期の粒度分布や対数正規分布は従う ( $D_0 = 7 \mu\text{m}$ ,  $\log \sigma = 0.575$ ) のこと

$$C(t) = \int_0^D C(D,0) dD + \frac{0.443}{f_2 \log \sigma} \int_{D_0}^D \left[ \frac{1}{D} \exp \left\{ -\frac{1}{2} \left( \frac{\log(D/D_0)}{\log \sigma} \right)^2 \right\} - \frac{\beta}{18\mu H} (\rho_p - \rho_f) g \int_{t_0}^t (D^2 - D_c D) dt \right] dD \quad \text{--- (6)}$$

となる。すなはち、 $\beta$ の値

はシミュレーションの結果より0.7とした。

③凝集沈降 現在のところ凝集沈降を表す簡単な式がまだないが、実験結果から、フラックス $F_d = 420 C^2$  [kg/m<sup>2</sup>s]  $C[\text{kg}/\text{m}^3]$  --- (7)

とした。

次に底泥の挙動を表す基礎式<sup>(2)</sup>

$$\dot{\tau} = -(\tau_g + \gamma P_s) - \mu_p \frac{\partial \tau}{\partial z} \quad \text{for } |\dot{\tau}| \geq \tau_g + \gamma P_s \quad \text{--- (8)}$$

$$\frac{\partial \tau}{\partial z} = 0 \quad \text{for } |\dot{\tau}| < \tau_g + \gamma P_s$$

$$\tau_g = \alpha \int_{z_0}^z \frac{\partial \tau}{\partial z} dt + \tau_{g0} \quad \text{--- (9)} \quad \mu_p = 10 \tau_g \quad \text{--- (10)}$$

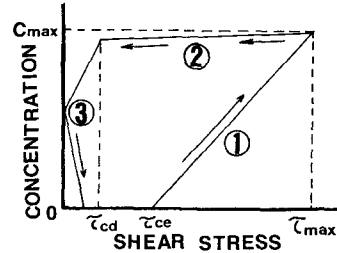


図-1 SSの挙動

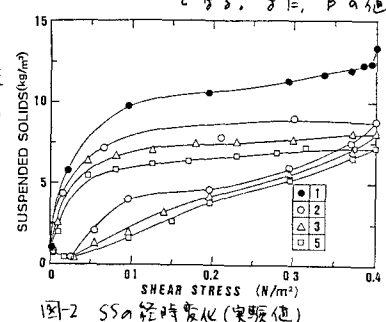


図-2 SSの経時変化(実験値)

(8)式は構成方程式で底泥がビニガム流体としての挙動を示し、さらに有効応力  $\sigma'_e$  に比例する力が剪断に抗するこした式である。(9)式は降伏値  $\tau_0$  が初期値  $\tau_{00}$  から変形速度の時間積分値に比例して増加する事を示す。また、底泥には圧密が生じると下。初期状態として最大剪断応力の時に全ての粒子が浮遊し、 $C = 0.4 \cos^2(\frac{\pi t}{2\tau_0})$ 、 $t$ [sec]とした。計算は explicit の差分で  $dt = 30$  sec,  $\Delta w = \int_0^t (1-C) \dot{\tau}_0 dt = \alpha t$  kg/m<sup>2</sup> とし、SS は底泥の  $\Delta w$  中の各粒径範囲内の粒子量を  $\times$  モリ - 1 = 入出力。

### 3. ミュレーシヨンの結果と考察

図-2は円形回転式路き用下端のSSの経時変化を、図-3は計算結果を示す。計算では実験値よりも初期回数の小さな時に正常状態に入り傾向があるが、第3回周期までは現象をよく表わしており、鉛域の分割と現象の表示式の妥当性を示している。図-4は第1回周期の  $T_{max}(0)$  から第2回周期までの2つを示す。

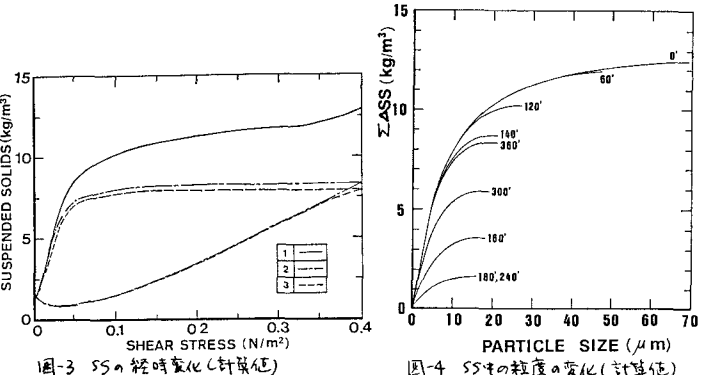


図-3 SSの経時変化(計算値)

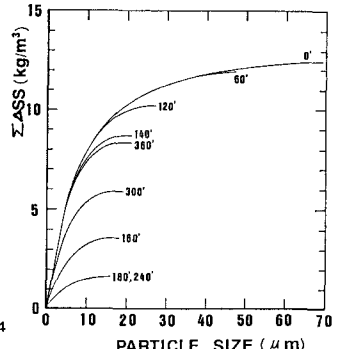


図-4 SS中の粒度の変化(計算値)

したがって  $\rightarrow$  第1回周期まではSS中の粒度の計算値結果である。図-5は巻き上げが始まる直前の底泥(0から100μm)の粒度の計算値を示したものであり、最下層と1としている。この分布は周期を経てもほとんど変化しない。一方、図中の破線は  $t=0$  のSS中の粒度であり、底泥の各層の粒度とは全く異なっている。図-6は実験終了時の底泥の粒度である。ここれらの図から、まず、分散した状態での沈降( $0 \sim 140$ 分)ではどの低下に伴ない大きな粒子から徐々に  $D_{50}$  に達して沈降を開始するため、SS中の大粒子の存在量が低下していくが、10μm以下の小粒子の存在量は変化していない。そのため底泥の粒度の計算結果では1~9の下層部では比較的大きな粒子のみが堆積している。実験では若干凝集するため下層部でも小粒子が堆積している。この点についてはさらには検討する必要がある。凝集沈降( $160 \sim 240$ 分)では  $F_0$  を粒度にかけたずSSの2乗に比例するとしているため、表層近くの10~18の粒度は変化していない。これは実験結果も同様である。次に巻き上げ時( $240 \sim 360$ 分)では、表層から徐々に巻き上げられるとしているため、表層部の小さな粒子のみが残りSS中の粒度はほとんど変化しない。これ以降、小さな粒子のみが巻き上げ、沈降を経り去る。図-5中の1~9の底泥は水理条件、例えば、 $T_{max}$  が大きくなることによる変動がなければSSの増減には関係しないと考える。

図-7は第5回周期の巻き上げの開始直前の底泥の鉛直方向の固体分布を、図-8は実験終了時のそれを示す。概ね多くの表層(1~3)と下層(10~13)。

(参考文献)  
1) T. Ueda et al., The behavior of suspended sediments and muds in an estuary. Wat. Sci. Tech. Vol.17 pp.5-9+7, E1984.

2) T. Ueda et al. A model of soft cohesive sediments.  
3rd Int. Sympo. on River Sedimentation

3) T. Kasada et al. Depositional process of fine sediments.

Wat. Sci. Tech. Vol. 14 pp.175-184 (1992)

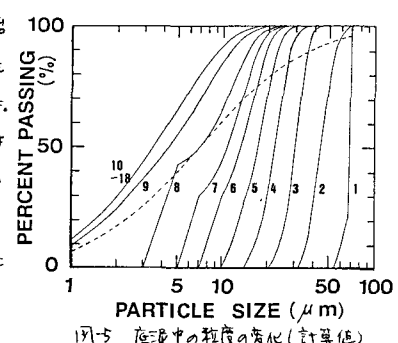


図-5 底泥中の粒度の変化(計算値)

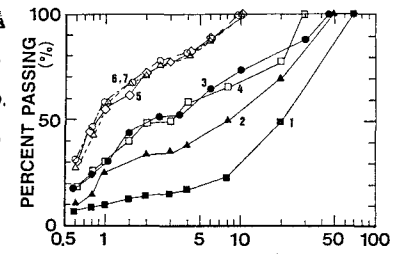


図-6 底泥中の粒度の変化(実験値)

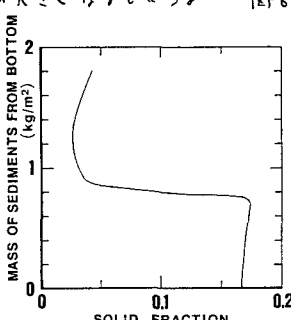


図-7 底泥の固体分布(計算値)

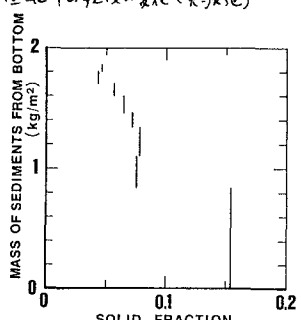


図-8 底泥の固体分布(実験値)